

Daniel DUSZA

POLITECHNIKA WROCLAWSKA, INSTYTUT MASZYN, NAPĘDÓW I POMIARÓW ELEKTRYCZNYCH

Model matematyczny filtru synchronicznego

Dr inż. Daniel DUSZA

Absolwent Wydziału Elektrycznego Politechniki Wrocławskiej, asystent w Instytucie Maszyn, Napędów i Pomiarów Elektrycznych na Wydziale Elektrycznym Politechniki Wrocławskiej. Główne zainteresowania dotyczą systemów pomiarowych, a w szczególności do sprawdzania przekładników i przetworników, filtracji przetwarzanych sygnałów oraz cyfrowego przetwarzania sygnałów.



e-mail: daniel.dusza@pwr.wroc.pl

Streszczenie

W artykule przedstawiono model matematyczny nadążnego filtru synchronicznego, tłumiącego w sygnałach wyższe harmoniczne, sterowanego za pomocą powielonych przebiegów otrzymanych z sygnału wejściowego przesuniętego o odpowiedni kąt. W pracy zaprezentowano również wyniki symulacyjne oraz wyniki badań modelu filtru synchronicznego tłumiącego 2. i 3. harmoniczną.

Słowa kluczowe: tłumienie harmoniczných, strukturalne przesunięcie fazowe.

Mathematical model of synchronous filter

Abstract

The paper presents mathematical model of follow-up synchronous filter, which attenuate higher harmonics in signals using the same signals, but shifted by appropriate angle. The paper presents also the results relating to the mathematical (fig. 3) and physical models (fig. 4, 5, 6).

Keywords: higher harmonics attenuation, filters structural phase shift.

1. Wprowadzenie

Filtry synchroniczne należą do klasy filtrów grzebieniowych, realizowanych zarówno w technice analogowej jak i cyfrowej. Analogowe filtry synchroniczne od lat są stosowane głównie w technice pomiarów nieelektrycznych w celu wyeliminowania harmoniczných parzystych. Filtry synchroniczne skutecznie redukują współczynnik szumów i umożliwiają niemal dowolne zawężenie szerokości pasma, co jest trudne do uzyskania w standardowych filtrach RC lub LC , ze względu na ograniczoną dobroć elementów. Tłumienie wyższych harmoniczných w sygnałach pomiarowych przy wykorzystaniu filtrów synchronicznych odbywa się za pomocą tych samych sygnałów ale przesuniętych o odpowiedni kąt [1].

Filtry synchroniczne charakteryzują się stałym przesunięciem fazowym niezależnym od częstotliwości sygnału wejściowego. Przesunięcie to zmienia się natomiast wraz ze zmianą konfiguracji filtru, która zależy od harmoniczných tłumionej przez filtr. Na przykład przy tłumieniu 2. harmoniczných i jej wielokrotności przesunięcie fazowe, nazwane strukturalnym przesunięciem fazowym filtru, wynosi 0, natomiast dla innych struktur filtru tłumiących wyższe harmoniczne przesunięcie to przyjmuje wartości różne od zera.

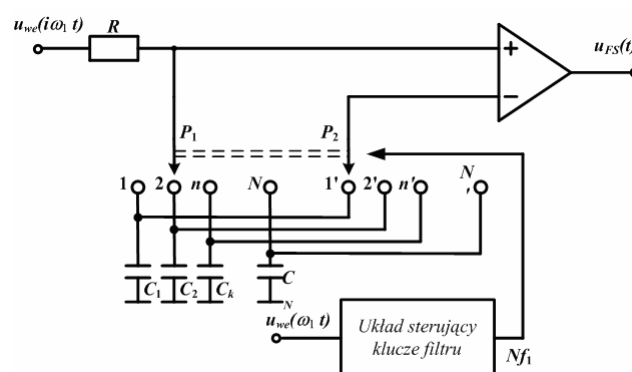
Rozwiązanie układowe oraz właściwości nadążnego filtru synchronicznego, składającego się z dwóch kaskad tłumiących odpowiednio harmoniczných parzyste i nieparzyste, będące wielokrotnością trzeciej harmoniczných składowej podstawowej sygnału filtrowanego zmieniającego się w przedziale od 16 2/3 Hz do 2 kHz przedstawiono w pracach [2, 4].

2. Model matematyczny filtru synchronicznego

Napięcie wejściowe podawane na zmodyfikowany filtr synchroniczny [3], którego ogólny schemat przedstawiono na rys. 1, ma postać

$$u(t) = \sum_{i=1}^n A_i \sin(i\omega t + \psi_i), \quad i = 1, 2, 3, \dots, \quad (1)$$

gdzie:

 A_i - amplituda i -tej harmoniczných, ψ_i - przesunięcie fazowe i -tej harmoniczných.

Rys. 1. Zmodyfikowany filtr synchroniczny [2, 4]

Fig. 1. Modified synchronous filter

Przełączniki P_1 i P_2 są ze sobą sprzężone i przełączane cyklicznie. Kondensatory C są przez rezystor R kolejno łączone ze źródłem napięcia określonego wzorem (1).

Każda próbka napięcia jest pobierana w czasie $t = \frac{T}{N}$, gdzie T

jest okresem sygnału wejściowego, a N jest liczbą przedziałów na które dzielony jest sygnał wejściowy.

Dla tak uzyskanej próbki równanie określające napięcie na kolejnym kondensatorze filtru definiuje wzór

$$u(t) = RC \frac{du_C}{dt} + u_C. \quad (2)$$

Ogólnie, na podstawie spłotu napięcie na kondensatorze opisuje zależność

$$u_C(t) = u_C(0)e^{-\frac{t}{RC}} + \frac{1}{RC} \int_0^t u(\tau)e^{-\frac{t-\tau}{RC}} d\tau, \quad (3)$$

przy czym stan początkowy określa relacja

$$u_C(0) = u_C(0)e^{-\frac{T}{NRC}} + \frac{1}{RC} e^{-\frac{T}{NRC}} \int_0^{\frac{T}{N}} u(\tau)e^{\frac{\tau}{RC}} d\tau, \quad k = 1, 2, 3, \dots, N., \quad (4)$$

Ostatecznie w stanie ustalonym, przy odpowiednio dobranej dużej stałej czasowej, napięcia na kondensatorze na początku i końcu okresu są sobie równe i wynoszą

$$u_C(0) = \frac{1}{RC \left(1 - e^{-\frac{T}{NRC}}\right)} e^{-\frac{T}{NRC}} \int_0^{\frac{T}{N}} u(\tau) e^{\frac{\tau}{RC}} d\tau. \quad (5)$$

Całka występująca w równaniu (5), przy zmianie granic całkowania ma postać

$$I = \int_0^{\frac{T}{N}} u\left(t + (k-1)\frac{T}{N}\right) e^{-\frac{t}{RC}} dt, \quad (6)$$

a przy wymuszeniu sygnałem opisanym równaniem

$$u(t) = A_1 \sin(\omega t + \psi_1), \quad (7)$$

jest wyrażona relacją

$$I = -\frac{A_1 RC}{(\omega RC)^2 + 1} \left\{ \begin{aligned} &\sin\left(\frac{2\pi k}{N} + \psi_1\right) e^{-\frac{T}{NRC}} - \sin\left(\frac{2\pi(k-1)}{N} + \psi_1\right) + \\ &\omega RC \left[\cos\left(\frac{2\pi k}{N} + \psi_1\right) e^{-\frac{T}{NRC}} - \cos\left(\frac{2\pi(k-1)}{N} + \psi_1\right) \right] \end{aligned} \right\}. \quad (8)$$

Ostatecznie napięcie na kondensatorze opisane równaniem (3) dla wymuszenia określonego równaniem (1) wynosi

$$u_{ck}(t) = \frac{A_i e^{-\frac{t}{NRC}}}{\left(1 - e^{-\frac{T}{NRC}}\right) \left[(\omega RC)^2 + 1 \right]} \left\{ \begin{aligned} &\sin\left(\frac{2\pi i k}{N} + \psi_i\right) e^{-\frac{t}{NRC}} - \sin\left(\frac{2\pi i(k-1)}{N} + \psi_i\right) + \\ &i\omega RC \left[\cos\left(\frac{2\pi i k}{N} + \psi_i\right) e^{-\frac{t}{NRC}} - \cos\left(\frac{2\pi i(k-1)}{N} + \psi_i\right) \right] \end{aligned} \right\} \quad (9)$$

Gdy stała czasowa

$$RC \rightarrow \infty, \quad (10)$$

to równanie (3), określające napięcie na kondensatorze C_k , ma postać

$$u_{ck}(t) = \frac{T}{N} \int_0^{\frac{T}{N}} u(t) dt. \quad (11)$$

Zależność ta przy wymuszeniu opisanym wzorem (1) jest równa

$$u_{ck}(t) = A_i \frac{\sin\left(\frac{\pi i}{N}\right)}{\frac{\pi i}{N}} \sin\left[\frac{2(k-1)\pi i}{N} + \psi_i\right], \quad i = 1, 2, 3, \dots \quad (12)$$

Różnicę napięć występujących na dwóch kondensatorach u_{ck}^* , z których jedno jest podane na wejście odwracające, a drugie na wejście nieodwracające wzmacniacza różnicowego, określa wyrażenie

$$u_{ck}^* = u_{ck} - u_{C(k-q)}, \quad (13)$$

gdzie q jest przesunięciem kluczowania i jest określone wzorem

$$q = \frac{N}{\lambda}, \quad (14)$$

a λ jest harmoniczną tłumioną przez filtr.

Przy spełnionym założeniu (10), różnicę napięć podawaną na węzeł sumacyjny można zapisać w postaci [3]

$$u_{ck}^*(t) = \sum_{i=1}^n \left\{ 2A_i \frac{\sin\left(\frac{\pi i}{N}\right)}{\frac{\pi i}{N}} \sin\frac{\pi i}{\lambda} \cos\left[\frac{(2k-1-q)\pi i}{N} + \psi_i\right] \right\}. \quad (15)$$

Czynnik $\sin\frac{\pi i}{\lambda}$ występujący w wyrażeniu (15) odnosi się do tłumionej harmoniczej λ i jej wielokrotności dla danej kaskady filtru synchronicznego.

Wartość napięcia wyjściowego filtru

$$u_{FS}(t) = \sum_{k=1}^N u_{ck}^*(t) \cdot e\left(t - (k-1)\frac{T}{N}\right), \quad (16)$$

gdzie

$$e(t) = \begin{cases} 1, & mT \leq t < \left(m + \frac{1}{N}\right)T, \quad m=1, 2, 3, \dots, \\ 0, & \text{dla innych przypadków} \end{cases} \quad (17)$$

będzie dążyła do zera dla częstotliwości $f_{we} = k\lambda f_1$, czyli filtr będzie tłumił sygnały wejściowe będące wielokrotnością częstotliwości λf_1 [3].

Z przedstawionych powyżej rozważań wynika, że dla $\lambda=2$ wartość napięcia u_{ck}^* wyrażonego wzorem (15) wynosi

$$u_{ck}^* = \begin{cases} 0 & i = 2l \\ 2u_{ck} & i = 2l - 1 \end{cases} \quad l = 1, 2, 3, \dots, \quad (18)$$

natomiast dla $\lambda=3$

$$u_{ck}^* = \begin{cases} 0 & i = 3l \\ \sqrt{3}u_{ck} & i = 3l - 1 \end{cases} \quad l = 1, 2, 3, \dots \quad (19)$$

Z relacji (18) i (19) wynika, że przy tłumieniu parzystych harmoniczych amplituda sygnału wyjściowego będzie dwa razy większa od amplitudy sygnału wejściowego, a przy tłumieniu 3. harmoniczej i jej wielokrotności amplituda sygnału wyjściowego będzie $\sqrt{3}$ razy większa.

Wyrażenie (12) umożliwia przeprowadzenie analizy wpływu konfiguracji filtru na strukturalne przesunięcie fazowe wprowadzane przez filtr.

Dla sygnału wejściowego

$$u(t) = A_1 \sin \omega t, \quad (20)$$

napięcie ma wartości zerowe w chwilach $\omega t = k\pi$, względnie

$$k_1 = n \frac{N}{2}, \quad n = 1, 2, 3, \dots \quad (21)$$

Napięcie określone wyrażeniem (15), dla $\psi_i = 0$, „przechodzi” przez zero, gdy

$$\cos \frac{(2k_n - 1 - q)\pi}{N} = 0, \quad (22)$$

ostatecznie przyjmuje postać

$$k_n = \frac{N}{4} + \frac{q+1}{2}. \quad (23)$$

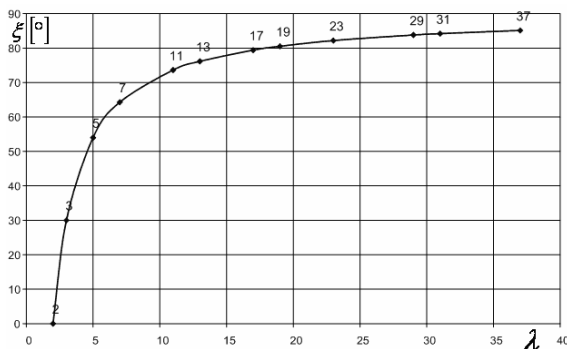
Z faktu, iż w czasie jednego okresu pobieranych jest N próbek oraz z zależności (15) wynika, że wyrażenie (23), przy $N \rightarrow \infty$, wyrażone w radianach, ma postać

$$k'_n = \frac{\pi}{2} + \frac{\pi}{\lambda} \quad (24)$$

W celu określenia strukturalnego przesunięcia fazowego należy od wartości uzyskanej z wyrażenia (21) odjąć wartość uzyskaną z zależności (24)

$$\xi = k'_1 - k'_n = \frac{\pi}{2} - \frac{\pi}{\lambda} \quad (25)$$

Na rys. 2 przedstawiono wykres odwzorowujący przesunięcie harmonicznych w paśmie do 40. harmonicznej przy tłumieniu harmonicznych będących liczbami pierwszymi.



Rys. 2. Wykres odwzorowujący strukturalne przesunięcie fazowe filtra synchronicznego w zależności od tłumionej harmonicznej

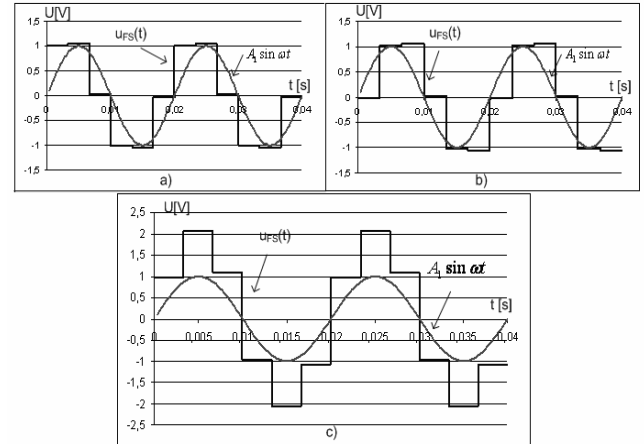
Fig. 2. Diagram of synchronous filter structural phase shifting in dependence on harmonic attenuation

Z wykresu wynika, że filtr tłumiący harmoniczne parzyste nie wprowadza przesunięcia fazowego, natomiast gdy tłumią trzecią harmoniczną i jej krotności to przesunięcie fazowe filtra wynosi $\xi = 30^\circ$, przesunięcie fazowe przy tłumieniu piątej harmonicznej wynosi $\xi = 54^\circ$ itd. Gdy filtr jest tak zaprojektowany, że tłumią harmoniczne o dużych wartościach to przesunięcie, nazwane strukturalnym przesunięciem fazowym, dąży do wartości $\xi = 90^\circ$.

3. Wyniki z modelu matematycznego i z modelu fizycznego

Przy tłumieniu 3. harmonicznej i jej wielokrotności przez filtr synchroniczny, zgodnie z wykresem przedstawionym na rys. 2, strukturalne przesunięcie fazowe omawianego filtra wynosi $\pi/6$. W celu uzyskania przesunięcia fazowego równego zero podjęto próbę opracowania takiej struktury filtra, która przesunęłaby 3. harmoniczną o wartość $-\pi/6$. Wykorzystując możliwość kaskadowego łączenia filtrów synchronicznych zbudowano model fizyczny filtra w układzie kaskadowym tłumiącego parzyste harmoniczne oraz 3. harmoniczną i jej wielokrotności o zerowym przesunięciu fazowym.

Rysunek 3 przedstawia przebiegi napięć wejściowego i wyjściowego opracowanego modelu matematycznego filtra opisanego wzorem (10) dla $RC \rightarrow \infty$ i $N=6$: rys. 3a dla klasycznej struktury filtra tłumiącego 3. harmoniczną, rys. 3b dla struktury odpowiedzialnej za korekcję fazową, a rys. 3c wypadkowy sygnał na wyjściu filtra synchronicznego tłumiącego 3. harmoniczną i nie wprowadzającego przesunięcia fazowego (rys. 3c).



Rys. 3. Przebiegi sygnałów na wyjściu filtra synchronicznego, a) klasycznego tłumiącego 3. harmoniczną, $\xi = +\frac{\pi}{6}$, b) opracowanego przez autora,

wprowadzającego korekcję fazową, $\xi = -\frac{\pi}{6}$, c) sygnał wyjściowy filtra dla połączenia kaskadowego

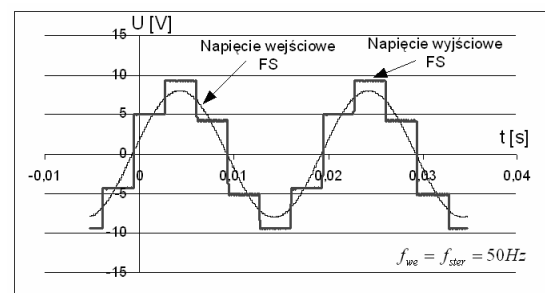
Fig. 3. Output signal courses of synchronous filter a) classical, attenuation 3rd

harmonic, $\xi = +\frac{\pi}{6}$, b) designed by author with phase correction,

$\xi = -\frac{\pi}{6}$, c) filter output signal for cascade connection

Otrzymane przebiegi wskazują, że sygnały wyjściowe są przesunięte odpowiednio $\xi = +\frac{\pi}{6}$ i $\xi = -\frac{\pi}{6}$. Przesunięcia te pozwalają wysnuć wniosek, że kaskadowe połączenie filtrów, wprowadzającego przyspieszenie fazy i opóźnienie fazy, pozwoli uzyskać filtr o przesunięciu fazy równym zero

Na rys. 4 przedstawiono oscylogram sygnału wyjściowego zbudowanego modelu filtra synchronicznego tłumiącego parzyste harmoniczne oraz 3. harmoniczną i jej wielokrotności przy pobudzeniu składową podstawową. Uzyskany wynik wskazuje, że opracowany i zbudowany filtr tłumią wybrane harmoniczne bez wprowadzania przesunięcia fazowego.

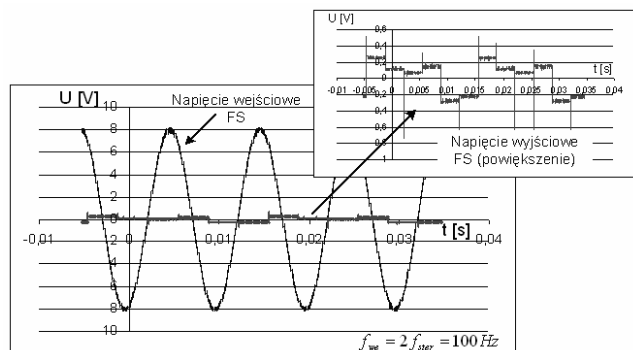


Rys. 4. Odpowiedź filtra na pobudzenie 1. harmoniczną

Fig. 4. Filter response on 1st harmonic stimulation

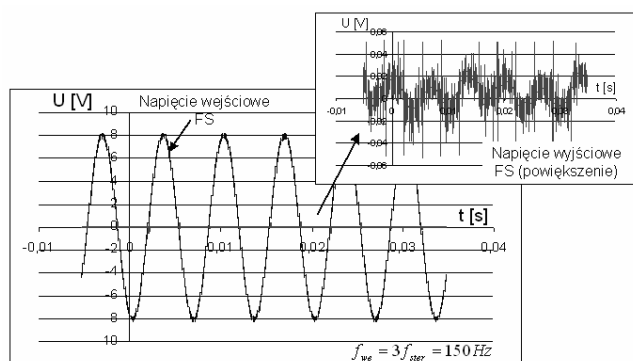
Oscylogramy pokazane na rys. 5 wskazują na silne tłumienie drugiej harmonicznej przez filtr synchroniczny. Przedstawione powiększenie sygnału wyjściowego obrazuje kształt i wartość sygnału tłumionego. Z porównania amplitud sygnałów wynika, że tłumienie 2. harmonicznej wynosi 28,5 dB.

Rys. 6 przedstawia stopień tłumienia trzeciej harmonicznej przez filtr. Pokazane powiększenie sygnału tłumionego wskazuje, że 3. harmoniczna jest tłumiona bardzo silnie i amplituda sygnału wyjściowego jest o rząd mniejsza niż w przypadku tłumienia drugiej harmonicznej. Tłumienie 3. harmonicznej jest na poziomie 52,0 dB.



Rys. 5. Oscylogramy przebiegu napięcia wyjściowego filtra tłumiącego 2. harmoniczną

Fig. 5. Oscillograms of filter output voltage attenuating 2nd harmonic



Rys. 6. Oscylogramy przebiegu napięcia wyjściowego filtra tłumiącego 3. harmoniczną

Fig. 6. Oscillograms of filter output voltage attenuating 3rd harmonic

4. Podsumowanie

Nadążny filtr synchroniczny należy do klasy filtrów grzebieniowych. Właściwości tłumiące filtra synchronicznego nadążają

za zmianami częstotliwości sterującej filtr, która jest krotnością częstotliwości sygnału wejściowego. Model matematyczny wyjaśnia szczegółowo zasadę działania filtra oraz umożliwia projektowanie filtrów synchronicznych tłumiących dowolne harmoniczne bez wprowadzania przesunięcia fazowego.

Zaletą filtra synchronicznego jest jego właściwość, że przesunięcie fazy filtra, nazwane strukturalnym, nie zmienia się wraz z częstotliwością sygnału wejściowego. Strukturalne przesunięcie fazy ma stałą wartość uwarunkowaną strukturą filtra, która zależy od rzędu tłumionej harmonicznej. Jest to ważna właściwość filtra. W artykule wykazano, na podstawie opracowanego modelu matematycznego i zbudowanego modelu fizycznego, możliwość wyeliminowania strukturalnego przesunięcia fazowego przez dołączenie dodatkowej kaskady filtra wprowadzającej korekcję fazową [5].

5. Literatura

- [1] Dusza Daniel.: Analiza właściwości metrologicznych systemu analogowego do sprawdzania przekładników i przetworników w paśmie częstotliwości od 16 2/3 Hz do 2 kHz., Rozprawa doktorska, 2006
- [2] Dusza Daniel.: Nadążny filtr synchroniczny w paśmie częstotliwości akustycznych. Referat z XXXVIII Międzynarodowej Konferencji Metrologów MKM 2006. Warszawa, 4-6 września 2006W: PAK 2006 nr 9, bis wyd. spec.
- [3] Komachi Y., Tanaka S., Lock-in amplifier using a sampled-data synchronous filter, Journal of Physics E.: Scientific Instruments 1975 Vol. 8, 967-971.
- [4] Nawrocki Z., Dusza D., Nadążny filtr synchroniczny w paśmie częstotliwości akustycznych, Prace Naukowe Instytutu Maszyn, Napędów i Pomiarów Elektrycznych, Zeszyt 56, Seria: Studia i Materiały, Wrocław 2004.
- [5] Nawrocki Zdzisław, Dusza Daniel: Nadążny filtr synchroniczny oraz sposób tłumienia trzeciej harmonicznej i jej wielokrotności. Zgłosz. pat. nr P 372406 z 24.01.2005

Artykuł recenzowany

INFORMACJE

Zapraszamy do PRENUMERATY czasopisma PAK w 2007 roku

**Cena prenumeraty rocznej: 180,00 zł/1 egz.
Cena prenumeraty półrocznej: 90,00 zł/1 egz.**

Prenumeratę i kolportaż prowadzą:

WYDAWNICTWO POMIARY AUTOMATYKA KONTROLA
ul. Świętokrzyska 14A, pok. 530, 00-050 Warszawa,
tel./fax: 022 827 25 40

Redakcja czasopisma POMIARY AUTOMATYKA KONTROLA
44-100 Gliwice, ul. Akademicka 10, pok. 30b,
tel./fax: 032 237 19 45, e-mail: wydawnictwo@pak.info.pl